

Figura 6.55 Vista tridimensional de la superficie de fluencia en el espacio de tensiones (p, q, s). Representación esquemática del movimiento de la superficie de fluencia (LC) para el ensayo isótropo TISO-1.

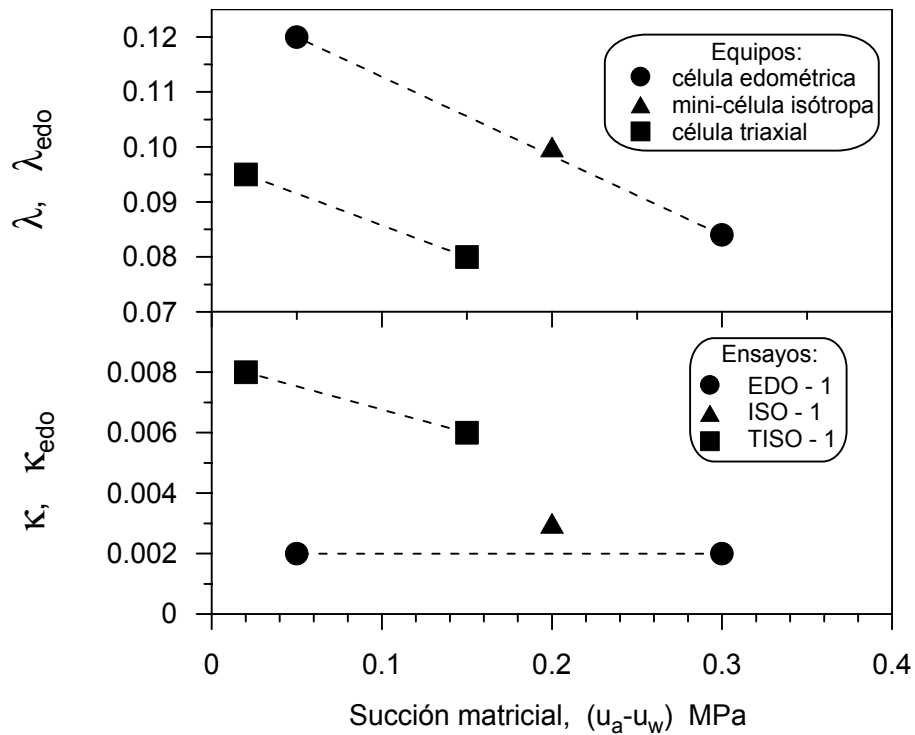


Figura 6.56 Valores de λ , λ_{edo} , κ , y κ_{edo} a diferente succión matricial, de los ensayos isótropos y edométricos en trayectorias de carga y descarga.

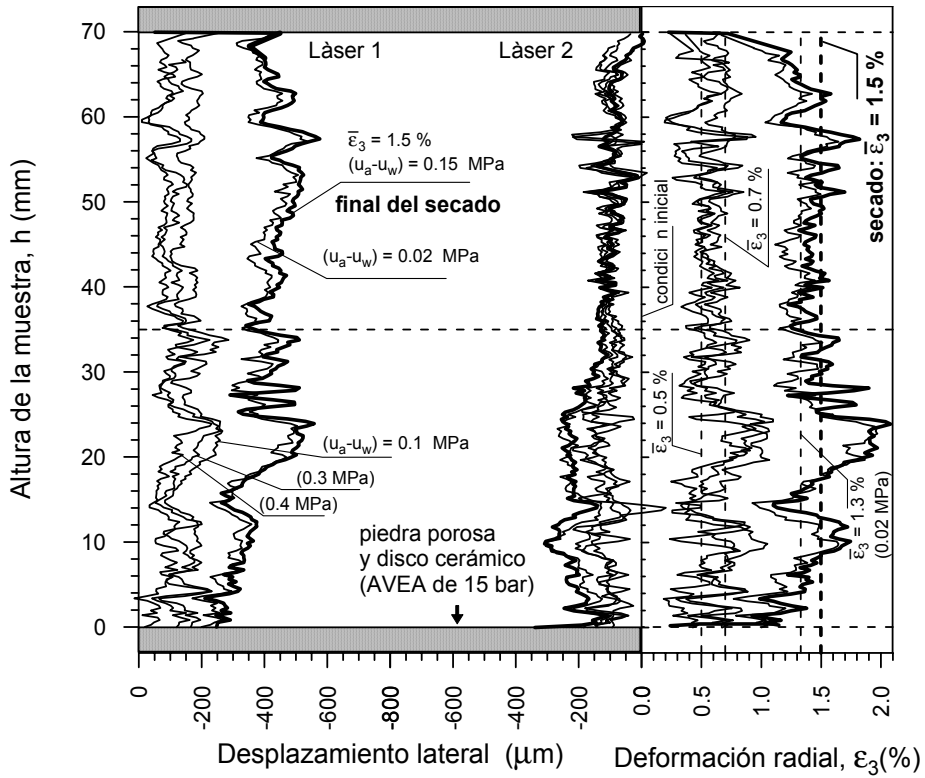


Figura 6.57 Perfiles de las deformaciones laterales en las etapas de humedecimiento y secado bajo tensión media constante $(\sigma_m - u_a) = 0.06 \text{ MPa}$. Trayectoria BCDE, TISO-1.

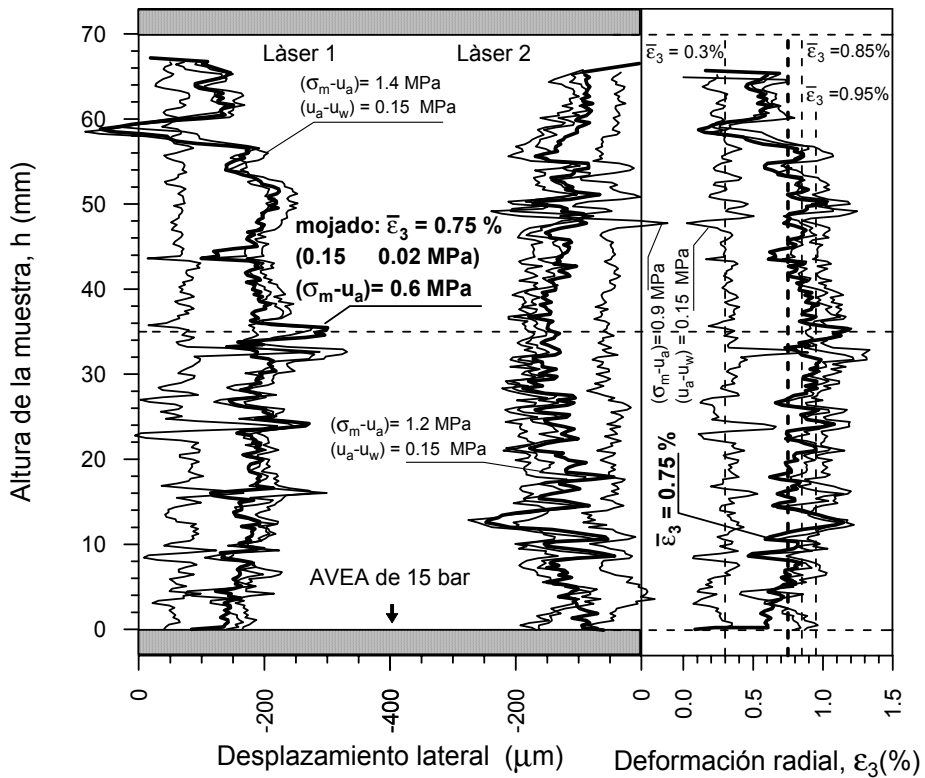


Figura 6.58 Perfiles de las deformaciones laterales del primer ciclo de carga–descarga a succión constante $(u_a - u_w) = 0.15 \text{ MPa}$. Trayectoria EFG, TISO-1.